

# Franck\_Hertz\_Versuch

May 3, 2024

## 1 Fakultät für Physik

### 1.1 Physikalisches Praktikum P2 für Studierende der Physik

Versuch P2-53, 54, 55 (Stand: März 2024)

[Raum F1-13](#)

## 2 Franck-Hertz-Versuch

Fadi Alhelo, Tony Ji

Gruppennummer: 14

Betreuer: \_\_\_\_\_

Versuch durchgeführt am: 02.05.2024

\_\_\_\_\_  
Beanstandungen zu Protokoll Version \_\_\_\_\_:

Testiert am: \_\_\_\_\_ Testat: \_\_\_\_\_

### 3 Durchführung

Die Anleitung zu diesem Versuch finden Sie [hier](#).

## 4 Datenauswerten mit Pandas

### 4.1 Aufgabe 1: Messanordnung

Hinweise zu Aufgabe 1 finden in der Datei [Hinweise-Versuchsdurchfuehrung.md](#).

- Bauen Sie die Schaltung der Franck-Hertz-Hg-Röhre mit dem zugehörigen Betriebsgerät auf.
  - Machen Sie sich mit dem Versuchsaufbau vertraut, indem Sie die folgenden Aufgaben bearbeiten.
- 

#### 4.1.1 Aufgabe 1.1: Beschreibung der Messanordnung

- Beschreiben Sie die Messanordnung, die Sie für diesen Versuch vorfinden in eigenen Worten.
- 

In einem Heizofen befindet sich eine Franck-Hertz-Tetrode, in der sich Quecksilber-Dampf befindet.

Aus einer Gluehkathode werden Elektronen emittiert. In einem geringen Abstand (0.5mm) zur Kathode befindet sich ein Raumladungsgitter  $G_1$ , das die emittierten Elektronen zur Anode hin lenkt. Zwischen Kathode und  $G_1$  liegt eine Spannung  $U_1$  an, die die Elektronen weg von der Kathode zu  $G_1$  zieht und mit der sich primär die Anzahl der Elektronen im Beschleunigungsfeld regulieren lässt.

In einem Abstand von etwa 6mm befindet sich das Beschleunigungsgitter  $G_2$ , das als Anode fungiert. Zwischen  $G_1$  und  $G_2$  liegt die Spannung  $U_2$  an. Die Elektronen, die durch  $G_1$  treten werden auf  $G_2$  zu beschleunigt. Auf dieser Strecke kommt es zu elastischen und inelastischen

Stoessen mit den Hg-Atomen. Treffen die Elektronen auf auf  $G_2$ , so laesst sich dort ein Anodenstrom messen.

Hinter dem Beschleunigungsgitter befindet sich eine Auffaengerelektrode, zwischen denen eine Gegenspannung  $U_3$  angelegt ist. Die Elektronen, die durch  $G_2$  treten, werden durch dieses elektrische Feld abgebremst. Haben die Elektronen nach den Stoessen bis dahin noch genuegend Energie, so koennen sie das Feld ueberwinden und treffen auf die Auffaengerelektrode, wodurch sich ein Auffaengerstrom messen laesst. Da nur wenige Elektronen durch die engen Maschen von  $G_2$  hindurchtreten ist der Auffaengerstrom sehr gering, sodass man einen Signalverstaerker benoetigt.

Die Beschleunigungsspannung setzt sich zusammen aus:

$$U_B = U_1 + U_2 + U_{th}.$$

mit einer unbekannten Thermospannung, die wir spaeter bestimmen.

#### 4.1.2 Aufgabe 1.2: Effekt der Steuerparameter an der Röhre

- Beschreiben Sie in eigenen Worten die Effekte, die einzelne Variationen der Parameter  $\vartheta$ ,  $U_1$ ,  $U_2$  und  $U_3$  auf  $I_A$  haben.
- Nehmen Sie für  $\vartheta = 180, 160, 140, 120^\circ$  C jeweils einen Verlauf von  $I_A$  als Funktion von  $U_2$ , für entsprechend optimierte Werte von  $U_1$  und  $U_3$ , auf und fügen Sie Ihrem Protokoll eine entsprechende Darstellungen bei. Notieren Sie zu jeder Darstellug die verwendeten Werte von  $U_1$  und  $U_3$ .
- Beschrieben Sie den Kurvenverlauf und die entsprechenden Änderungen qualitativ.

---

Durch die Aenderung von  $U_1$  laesst sich die Anzahl der Elektronen, die im Feld zwischen  $G_1$  und  $G_2$  stossen, regulieren.

Durch Aenderung von  $U_2$  laesst sich die Beschleunigungsspannung und somit die kinetische Energie der Elektronen aendern.

Durch Aenderung von  $U_3$  laesst sich die Staerke des Gegenfeldes zwischen  $G_2$  und Auffaengerelektrode aendern und somit die Anzahl der auf die Elektrode treffenden Elektronen regulieren.

Durch Aenderung der Temperatur des Heizofens laesst sich die Teilchendichte der Hg-Atome des Quecksilber-Dampfes und damit die mittlere freie Weglaenge der Elektronen variieren.

Es gilt

$$\lambda = \frac{1}{n} \sigma$$

wobei  $n$  die Teilchenzahldichte und  $\sigma$  der Wirkungsquerschnitt der Hg-Atome ist.

Mithilfe der idealen Gasgleichung erhalten wir

$$\lambda = \frac{kT}{p\sigma}$$

mit Temperatur  $T$ , Boltzmann-Konstante  $k$  und Druck  $p$ , wobei

$$p = 1.324 \cdot 10^8 \exp\left(\frac{-7345.25}{T}\right)$$

Steigt die Temperatur, so wird die mittlere freie Weglänge geringer, wodurch sich die Anzahl der Stöße erhöht.

```
[2]: import numpy as np
import matplotlib.pyplot as plt
import pandas as pd
import scipy

#importiert die CSV und macht sie zu einem Dataframe
df = pd.read_csv('temp_120.csv', delimiter=';', dtype = 'float64')
print(df.keys()) #prints the keys (name of the columns)

#Columns can be treated like arrays
column1 = df['Frequenz(s)']
column2 = df['Kanal A(V)']
column3 = df['Kanal B(V)']

plt.scatter(column3,column2 , s=3,color='purple',label='Franck-Hertz_Kurve')
plt.title('120 Grad Celcius') # Plot Beschriftung
plt.xlabel('U_2 in Volt') # Achsenbeschriftung
plt.ylabel('Anodenspannung in Volt')
plt.legend()
plt.show()

df = pd.read_csv('140°C_3,33U1.csv', delimiter=';', dtype = 'float64')
print(df.keys()) #prints the keys (name of the columns)

#Columns can be treated like arrays
column1 = df['Frequenz(s)']
column2 = df['Kanal A(V)']
column3 = df['Kanal B(V)']

print(column3[422])#[, 765]
scipy.signal.find_peaks(column2)
print(list(scipy.signal.find_peaks(column2, height = (0,10),distance = 300)))

plt.scatter(column3,column2 , s=3,color='purple',label='Franck-Hertz_Kurve')
plt.title('140 Grad Celcius') # Plot Beschriftung
plt.xlabel('U_2 in Volt') # Achsenbeschriftung
plt.ylabel('Anodenspannung')
plt.legend()
```

```

plt.show()

df = pd.read_csv('160°C_4,49U1.csv', delimiter=';', dtype='float64')
print(df.keys()) #prints the keys (name of the columns)

#Columns can be treated like arrays
column1 = df['Frequenz(s)']
column2 = df['Kanal A(V)']
column3 = df['Kanal B(V)']

plt.scatter(column3,column2 , s=3,color='purple',label='Franck-Hertz_Kurve')
plt.title('159 Grad Celcius') # Plot Beschriftung
plt.xlabel('U_2 in Volt') # Achsenbeschriftung
plt.ylabel('Anodenspannung in Volt')
plt.legend()
plt.show()

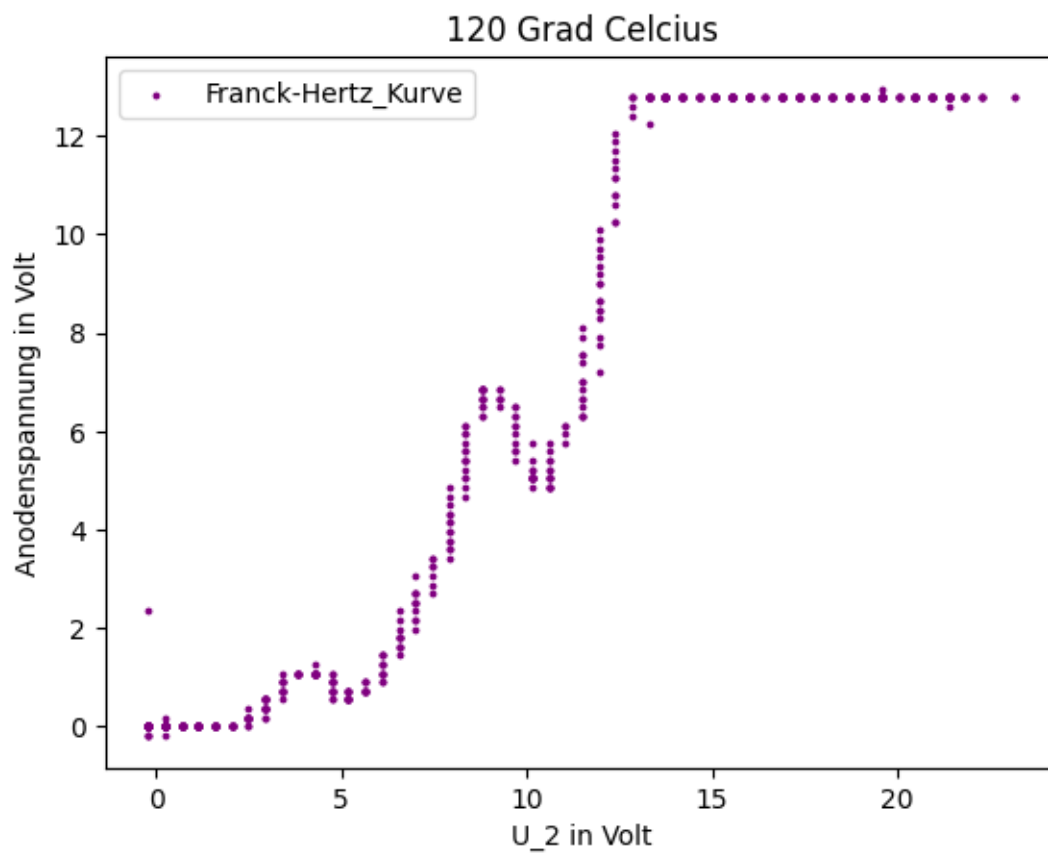
df = pd.read_csv('180°C_4,93U1.csv', delimiter=';', dtype='float64')
print(df.keys()) #prints the keys (name of the columns)

#Columns can be treated like arrays
column1 = df['Frequenz(s)']
column2 = df['Kanal A(V)']
column3 = df['Kanal B(V)']

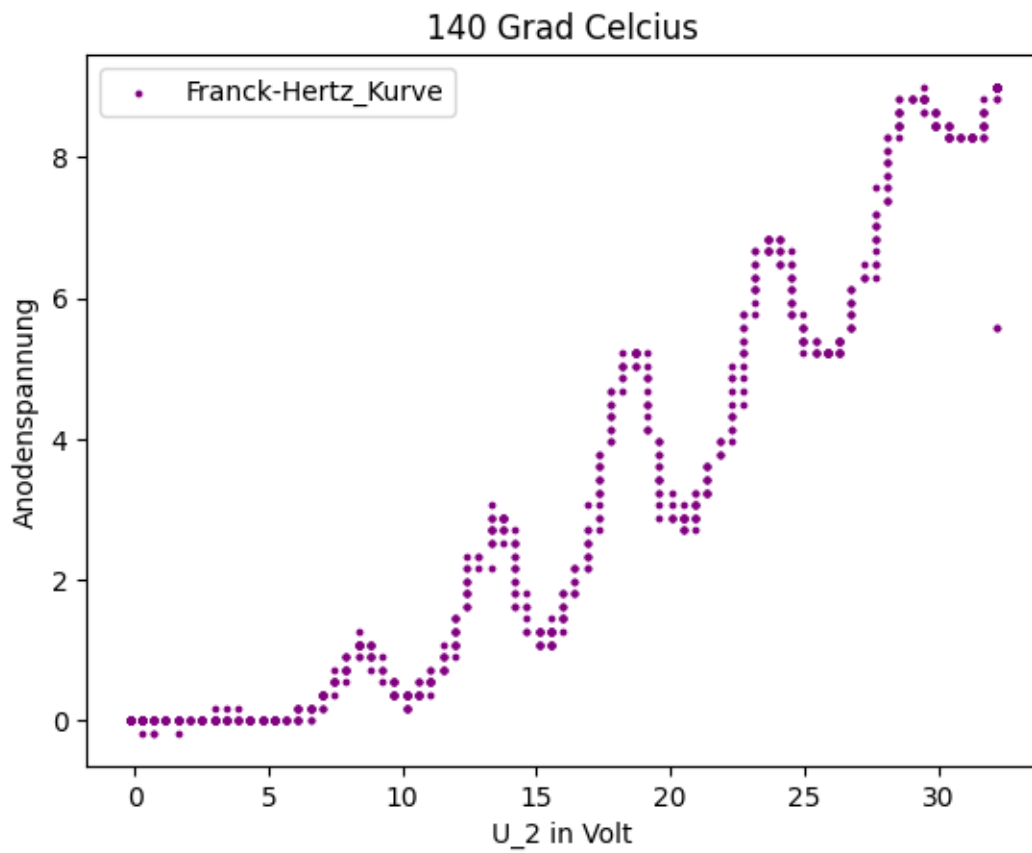
plt.scatter(column3,column2 , s=3,color='purple',label='Franck-Hertz_Kurve' )
plt.title('181 Grad Celcius') # Plot Beschriftung
plt.xlabel('U_2 in Volt') # Achsenbeschriftung
plt.ylabel('Anodenspannung in Volt')
plt.legend()
plt.show()

```

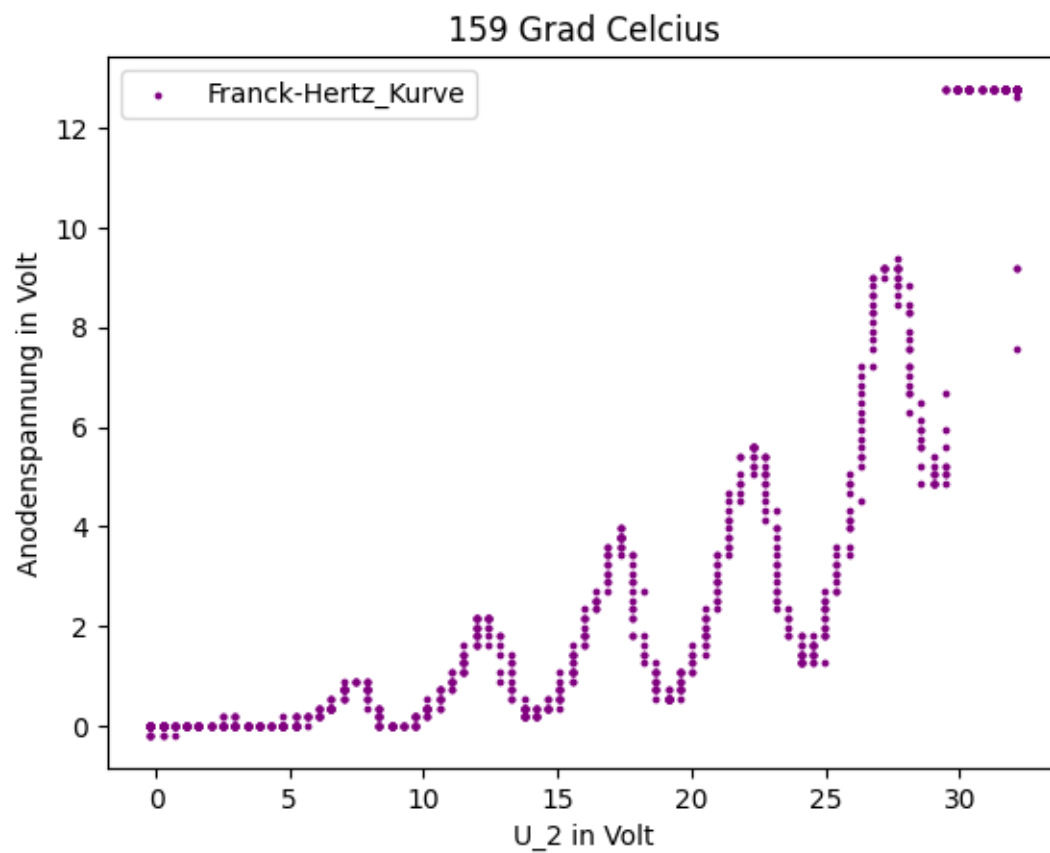
```
Index(['Frequenz(s)', 'Kanal A(V)', 'Kanal B(V)'], dtype='object')
```



```
Index(['Frequenz(s)', 'Kanal A(V)', 'Kanal B(V)'], dtype='object')
13.28623
[array([115, 422, 825]), {'peak_heights': array([1.831110e-03, 3.059175e+00,
8.996246e+00])}]
```

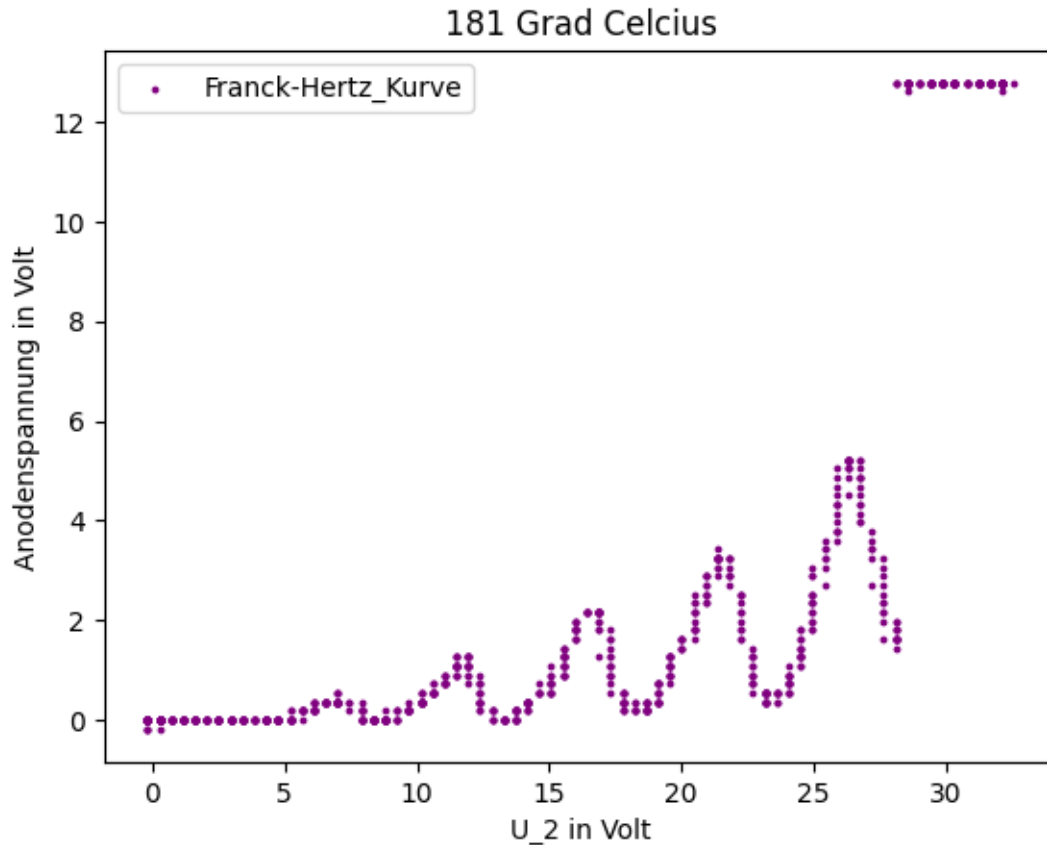


```
Index(['Frequenz(s)', 'Kanal A(V)', 'Kanal B(V)'], dtype='object')
```



```
Index(['Frequenz(s)', 'Kanal A(V)', 'Kanal B(V)'], dtype='object')
```





```
[3]: #U_err 0.01 V

fig, ax = plt.subplots()

table_data = [
    ["Temperatur in Grad Celcius", "Kathodenspannung in Volt", "U1 in Volt", "U3 in Volt"],
    [120, 3.23, 3.20, 1.11, ],
    [140, 3.51, 3.34, 0.88, ],
    [159, 4.31, 4.43, 0.91, ],
    [181, 5.34, 4.93, 0.97, ]]

table = ax.table(cellText = table_data, loc='center')
table.set_fontsize(40)
table.scale(4,4)
ax.axis('off')
plt.show()
```

Temperatur in Grad Celcius	Kathodenspannung in Volt	U_1 in Volt	U_3 in Volt
120	3.23	3.2	1.11
140	3.51	3.34	0.88
159	4.31	4.43	0.91
181	5.34	4.93	0.97

Erhoehen wir die Beschleunigungsspannung, so steigt der Aufaengerstrom an. Durch die elastische Stoessen mit den Hg-Atomen verlieren die Elektronen nur wenig Energie und haben noch genug Energie um die Aufaengerelektrode zu erreichen.

Ab einer bestimmten Beschleunigungsspannung entspricht die Energie der Elektronen die niedrigste Anregungsenergie von Quecksilber (4.86 eV). Es kommt zu unelastischen Stoessen, wobei das Elektron diese Anregungsenergie an das Hg-Atom uebertraegt. Dadurch verliert das Elektron so viel Energie, dass es das Gegenfeld nicht mehr ueberwinden und die Aufaengerelektrode nicht mehr erreichen kann, wodurch der Aufaengerstrom sinkt.

Erhoeht man die Beschleunigungsspannung weiter, so steigt der Aufaengerstrom wieder an, bis die Energie der Elektroenen das Doppelte der Anregungsenergie entspricht, sodass die Elektronen zwei mal inelastisch Stossen koennen. Dieser Vorgang wiederholt sich.

Der Abstand zwischen den Maxima des Kurvenverkaufs entspricht der niedrigsten Anregungsenergie der Hg-Atome (ein Volt Spannung entspricht ein eV Energie bei Elektronen).

[ ]:

## 4.2 Aufgabe 2: Charakterisierung der Hg-Röhre

Hinweise zu Aufgabe 2 finden in der Datei [Hinweise-Versuchsdurchfuehrung.md](#).

Charakterisieren Sie die Röhre, für die Einstellungen von  $\vartheta$ ,  $U_1$  und  $U_3$  aus **Aufgabe 1.2**, die Ihnen dafür am besten geeignet erscheinen. Bearbeiten Sie hierzu die folgenden Aufgaben.

### 4.2.1 Aufgabe 2.1: Bestimmung der Spannungsdifferenz $\Delta U_B$ und der effektiven Kontaktspannung $U_{th}$ .

- Bestimmen Sie die Spannungsdifferenz  $\Delta U_B$  mit Hilfe der beobachteten Maxima und/oder Minima des Verlaufs von  $I_A$ .
- Bestimmen Sie die effektive Kontaktspannung  $U_{th}$ .
- Kalibrieren Sie für Ihre spätere Auswertung die  $x$ -Achse **aller aufgezeichneten Diagramme** entsprechend, so dass dort  $U_B$  angezeigt wird.

```
[4]: import numpy as np
import matplotlib.pyplot as plt
import PhyPraKit as ppk
```

```

fig, ax = plt.subplots()

table_data = [
    ["Peak", "U_2 in Volt"],
    [1, 8.35],
    [2, 13.29],
    [3, 18.67],
    [4, 23.61],
    [5, 29.45]]

table = ax.table(cellText = table_data, loc='center')
table.set_fontsize(40)
table.scale(4,4)
ax.axis('off')
plt.show()

```

Peak	U_2 in Volt
1	8.35
2	13.29
3	18.67
4	23.61
5	29.45

Wir betrachten die Roehre bei 140 Grad Celcius.

Die Spannungsdifferenzen zwischen den Maxima betragen:

```

[5]: fig, ax = plt.subplots()

table_data = [
    ["Temperatur in Grad Celcius", "Differenz zw. Maximum 1, 2 in Volt",
    "Diff. zw. Maximum 2, 3 in Volt", "Diff. zw. Maximum 3, 4 in Volt",
    "Diff. zw. Maximum 4, 5 in Volt", "Mittelwert der Spannungsdifferenzen in Volt"],
    [140, 4.94, 5.38, 4.94, 5.84, 5.28]]

table = ax.table(cellText = table_data, loc='center')
table.set_fontsize(40)
table.scale(4,4)
ax.axis('off')
plt.show()

```

Temperatur in Grad Celcius	Differenz zw. Maximum 1, 2 in Volt	Diff. zw. Maximum 2, 3 in Volt	Diff. zw. Maximum 3, 4 in Volt	Diff. zw. Maximum 4, 5 in Volt	Mittelwert der Spannungsdifferenzen in Volt
140	4.94	5.38	4.94	5.84	5.28

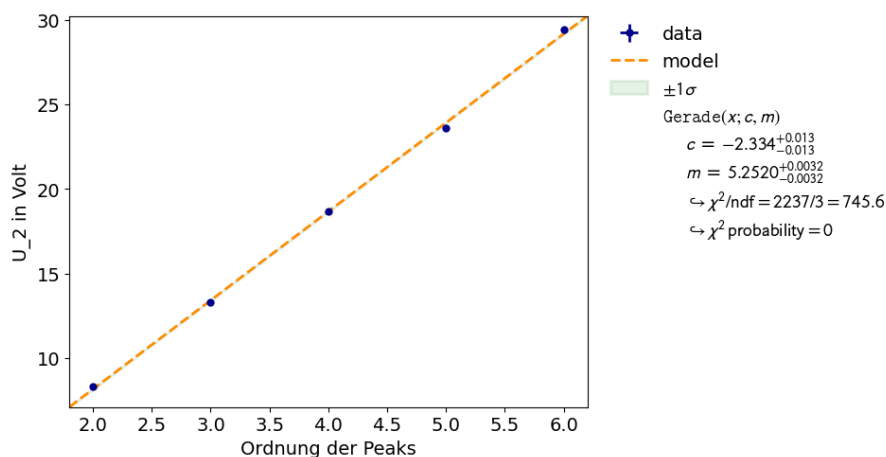
Wir plotten die Ordnung der Maxima gegen den Wert der Spannung beim jeweiligen Maximum:

```
[6]: ordnung=np.array([2, 3, 4, 5, 6])

spannung=np.array([8.35, 13.29,18.67,23.61,29.45])

def Gerade(x,c,m):
    return m*x+c

ppk.phyTools.k2Fit(Gerade, ordnung, spannung , sy=0.01 , axis_labels =_
↳['Ordnung der Peaks', 'U_2 in Volt'])
```



```
[6]: (array([-2.334,  5.252]),
      array([[ -0.01341641,  0.01341641],
             [ -0.00316228,  0.00316228]]),
      array([[ 1., -0.94279738],
             [-0.94279738,  1.]]),
      2236.7999999999683)
```

Die effektive Kontaktspannung entspricht dem y-Achsenabschnitt:

$$U_{th.} = -2.334(\pm 0.013)V$$

```
[7]: um = np.array([4.94, 5.38, 4.94, 5.84])

eerr = np.std(um)

print(eerr)
```

0.3723909236273084

Der Abstand zwischen den Maxima des Kurvenverkaufs entspricht der niedrigsten Anregungsenergie der Hg-Atome (ein Volt Spannung entspricht ein eV Energie bei Elektronen).

Damit koennen wir einen Mittelwert fuer die niedrigste Anregungsenergie der Hg-Atomen bestimmen:

$$\overline{E_A} = 5.28(\pm 0.37)eV$$

Dieser experimentell ermittelte Wert weicht um etwa 8.64% vom Literaturwert  $E_{A,Lit.} = 4.86eV$  ab.

Moegliche Fehlerquellen sind Ungenauigkeiten bei der Bestimmung der Maxima und der Spannungen.

#### 4.2.2 Aufgabe 2.2: Verlauf des Anodenstroms $I_{G2}$

- Bestimmen Sie den Anodenstrom  $I_{G2}$  als Funktion von  $U_2$ .
- Überprüfen Sie durch geeignete Auftragung die aus dem [Raumladungsgesetz](#) erwartete Abhängigkeit von  $U_2$ .

---

Mit einem Stromstaerkemessgeraet messen wir den Anodenstrom am Beschleunigungsgitter in Abhängigkeit von  $U_2$ .

Wir ueberpruefen folgenden Zusammenhang des Raumladungsgesetzes:

$$I_{G2} = \kappa(U_2 + U_1 - U_{th.})^{\frac{3}{2}}$$

mit der Raumladungskonstanten  $\kappa$ .

Ein Fit ergibt:

```
[8]: I = np.array([ 0.01 , 0.04 ,0.07, 0.10, 0.13 , 0.17 ,0.21, 0.26, 0.34,
↳0.44 ])*1/(10**6) #Ampere

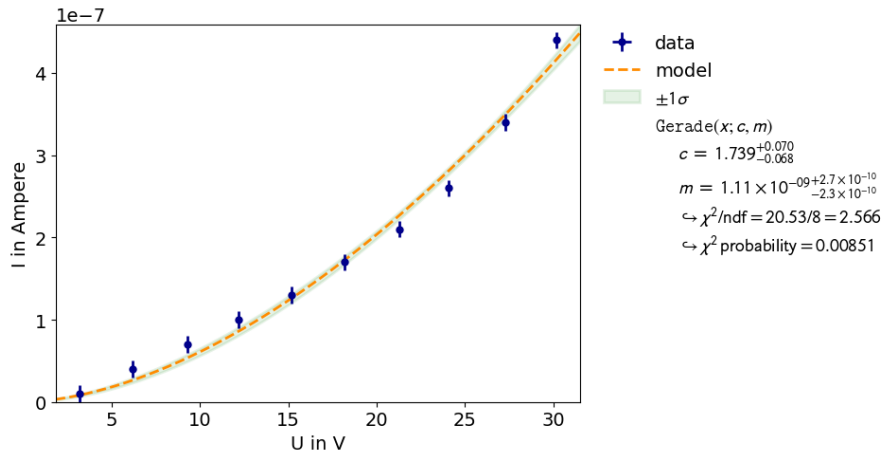
U_2 = np.array([ 3, 6 ,9.1 , 12.0, 15.0,18.0 ,21.1, 23.9, 27.1, 30.0]) #Volt

U_1 = 2.50

u=U_2+U_1-2.334
```

```
def Gerade(x,c,m):
    return m*x**c

ppk.phyTools.k2Fit(Gerade, u, I, sx = 0.01, sy=0.01*(1/10**6) , axis_labels =_
    ↪['U in V', 'I in Ampere'])
```



```
[8]: (array([1.73868478e+00, 1.11315645e-09]),
      array([[ -6.75733728e-02,  7.02398852e-02],
             [-2.26609459e-10,  2.71696478e-10]]),
      array([[ 1., -0.99796508],
             [-0.99796508,  1.]]),
      20.52992853650023)
```

Wir erhalten

$$c = 1.739(\pm 0.069)$$

Dieser Wert weicht um etwa 15.87% vom erwarteten Wert  $3/2$  ab.

Beim Raumladungsgesetz geht man von einer evakuierten Diode aus, was bei uns nicht der Fall ist. Ausserdem wird durch die Tatsache, dass  $G_1$  auf einem relativ zu K nicht verschwindenden Potential liegt, die Geometrie der elektrischen Feldlinien und der Röhre beeinflusst. Dadurch kommt es zu Abweichungen von der erwarteten Abhaengigkeit nach dem Raumladungsgesetz.

### 4.3 Aufgabe 3: Höhere Anregungen von Hg

Hinweise zu Aufgabe 3 finden in der Datei [Hinweise-Versuchsdurchfuehrung.md](#).

Untersuchen Sie höhere Anregungen von Hg und schätzen Sie seine Ionisierungsenergie ab. Bearbeiten Sie hierzu die folgenden Aufgaben.

#### 4.3.1 Aufgabe 3.1: Beobachtung höherer Anregungen von Hg

- Bestimmen Sie den Verlauf von  $I_A$  als Funktion von  $U_B$  unter Betriebsbedingungen, die für die Erzeugung höherer Anregungszustände in Hg geeignet sind.
- Versuchen Sie im Rahmen Ihrer Auswertung so viele Strukturen im Verlauf von  $I_A$  wie möglich zu identifizieren. Dieser wird im Wesentlichen durch Linearkombinationen der beiden niedrigsten Anregungsenergien bestimmt.

---

Damit unsere Elektronen Energien fuer hoehere Anregungen erreichen, muss das Elektron eine gewisse Zeit lang beschleunigt werden, ohne zu stossen. Um die Wahrscheinlichkeit fuer einen Stoss zu senken muss entsprechend die mittlere freie Weglaenge erhoeht werden, was sich durch eine Temperaturerniedrigung realisieren laesst.

Die Stosswahrscheinlichkeit wird auch durch die Verringerung der Beschleunigungsstrecke gesenkt. Wir verwenden  $G_1$  als Beschleunigungsgitter. Dazu wird  $U_1$  und  $U_2$  gleichgesetzt.

Um eine Gasentladung zu vermeiden wird die Kathodenspannung verringert.

Die Temperatur behalten wir bei 140 Grad Celcius.

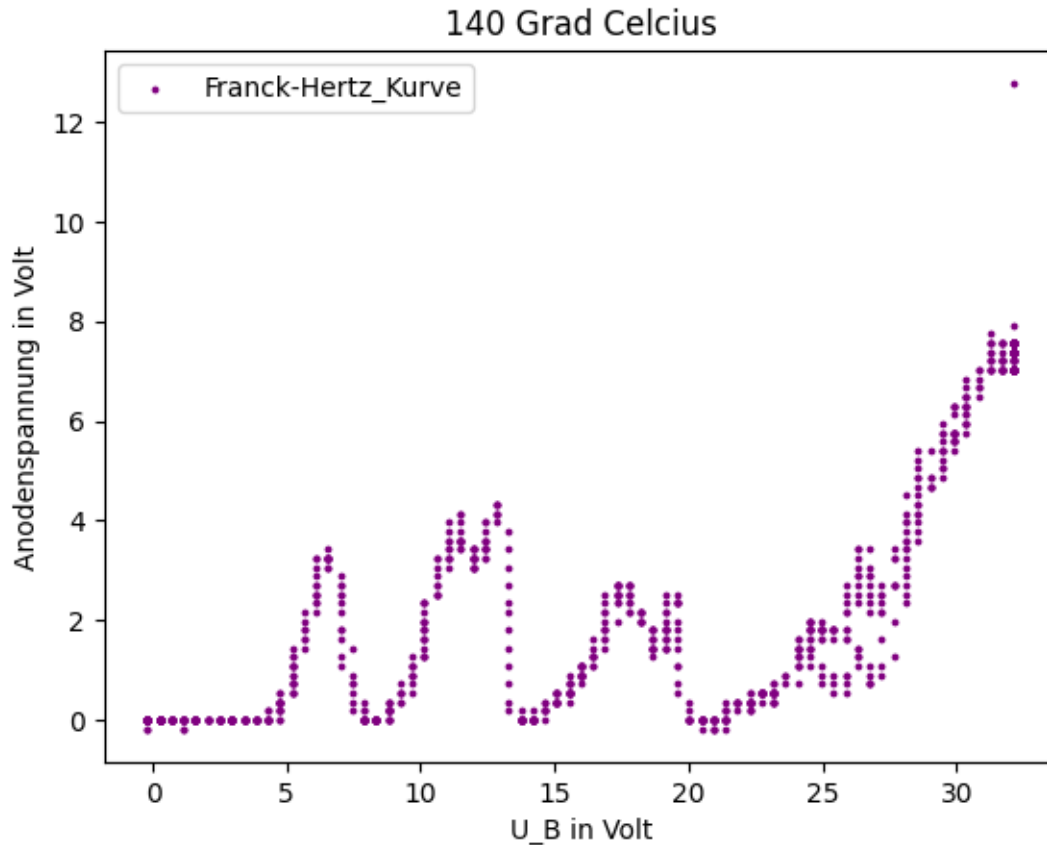
```
[21]: df = pd.read_csv('hoere_anregungen.csv', delimiter=';', dtype='float64')

print(column3[389])#[, 765]
scipy.signal.find_peaks(column2)
print(list(scipy.signal.find_peaks(column2, height=(0,6),distance=30)))

column1 = df['Frequenz(s)']
column2 = df['Kanal A(V)']
column3 = df['Kanal B(V)']

plt.scatter(column3,column2 , s=3,color='purple',label='Franck-Hertz_Kurve' )
plt.title('140 Grad Celcius') # Plot Beschriftung
plt.xlabel('U_B in Volt') # Achsenbeschriftung
plt.ylabel('Anodenspannung in Volt')
plt.legend()
plt.show()
```

```
12.83761
[array([ 79, 226, 283, 349, 389, 473, 510, 561, 621, 656, 695, 744, 789,
        819]), {'peak_heights': array([1.831110e-03, 3.419294e+00, 1.818903e-01,
        4.138920e+00,
        4.318369e+00, 1.080355e+00, 2.699667e+00, 2.519608e+00,
        3.613392e-01, 5.413983e-01, 1.980041e+00, 3.419294e+00,
        4.498428e+00, 5.937681e+00])}]
```



Die Energien bei den Maxima entsprechen einer Linearkombination der beiden niedrigsten Anregungsenergien:

$$E = a \cdot E_1 + b \cdot E_2$$

wobei wir als Richtwerte die Literaturwerte

$E_1 = 4.86\text{eV}$  und  $E_2 = 6.70\text{eV}$

verwenden.

Von der gemessenen Beschleunigungsspannung ziehen wir die zuvor bestimmte effektive Kontaktspannung ab.

```
[26]: fig, ax = plt.subplots()

table_data = [{"Peak Nummer", "U_B gemessen in Volt", "U_B korrigiert in Volt",
    ↳(bzw. E in eV)", "a", "b", "E_2 in eV"}],
    [1, 6.55, 4.22, 1, 0, "-", ],
    [2, 11.49, 9.16, 2, 0, "-", ],
    [3, 12.84, 10.50, 1, 1, 5.64 ],
```



```

[4 , 17.33 , 14.99, 2, 1, 5.27],
[5, 19.12 ,16.79,1, 2, 5.97]]

table = ax.table(cellText = table_data, loc='center')
table.set_fontsize(40)
table.scale(4,4)
ax.axis('off')
plt.show()

v = np.array([5.64, 5.27,2.97])
print(np.std(v))

```

Peak Nummer	U <sub>B</sub> gemessen in Volt	U <sub>B</sub> korrigiert in Volt (bzw. E in eV)	a	b	E <sub>2</sub> in eV
1	6.55	4.22	1	0	-
2	11.49	9.16	2	0	-
3	12.84	10.5	1	1	5.64
4	17.33	14.99	2	1	5.27
5	19.12	16.79	1	2	5.97

1.1811388101696128

Wir erhalten einen Mittelwert von

$$\overline{E_2} = 5.63(\pm 1.18) \text{ eV}$$

Dieser experimentell ermittelte Wert weicht um etwa 16% vom Literaturwert  $E_{2,Lit.} = 6.70 \text{ eV}$  ab, liegt jedoch im Fehlerintervall.

Die Peaks in der Franck-Hertz-Kurve sind nicht sonderlich gut ausgeprägt, sodass Ungenauigkeiten beim Bestimmen der Lage der Maxima entstehen. Auch hier ist die genaue Kontaktspannung unbekannt, sodass wir lediglich mit einer ungenauen effektiven Kontaktspannung korrigieren mussten.

Für höhere Spannungen steigt die Anzahl der möglichen Linearkombinationen, sodass diese sich immer mehr überlagerten und die einzelnen Peaks der Kurve nicht mehr zu unterscheiden sind.

#### 4.3.2 Aufgabe 3.2: Ionisierungsenergie von Hg

- Bestimmen Sie aus dem Verlauf von  $I_{G_2}$  als Funktion von  $U_B$  die Ionisierungsenergie von Hg.
- Beobachten Sie mit dem Taschenspektroskop die im Bereich des sichtbaren Lichts liegenden Emissionslinien bei brennender Gasentladung. Lassen Sie hierzu eine ständige Gasentladung zünden. Fügen Sie Ihrem Protokoll ein entsprechendes Bild zu.

---

Die Ionisierungsenergie ist die Energie, die benötigt wird, um ein Elektron aus dem Hg-Atom herauszulösen. Diese beträgt 10.44 eV.

Auch hier müssen wir wie in 3.1 die Stosswahrscheinlichkeit verringern.

Wir messen den Anodestrom und tragen diese als Funktion von  $U_B$  auf.

```
[116]: U_B = np.array([ 0,  2.0 ,4.0  ,6.1 , 8.0 ,10.0, 13.0 , 16.1,19.0,22.1,25.1, 28.
↪2,29.9 ])-2.334

Ig2 = np.array([0,0,0.04 , 0.29,0.32,0.92, 1.73,3.58, 5.31, 7.74,11.21,18.00,22.
↪98])

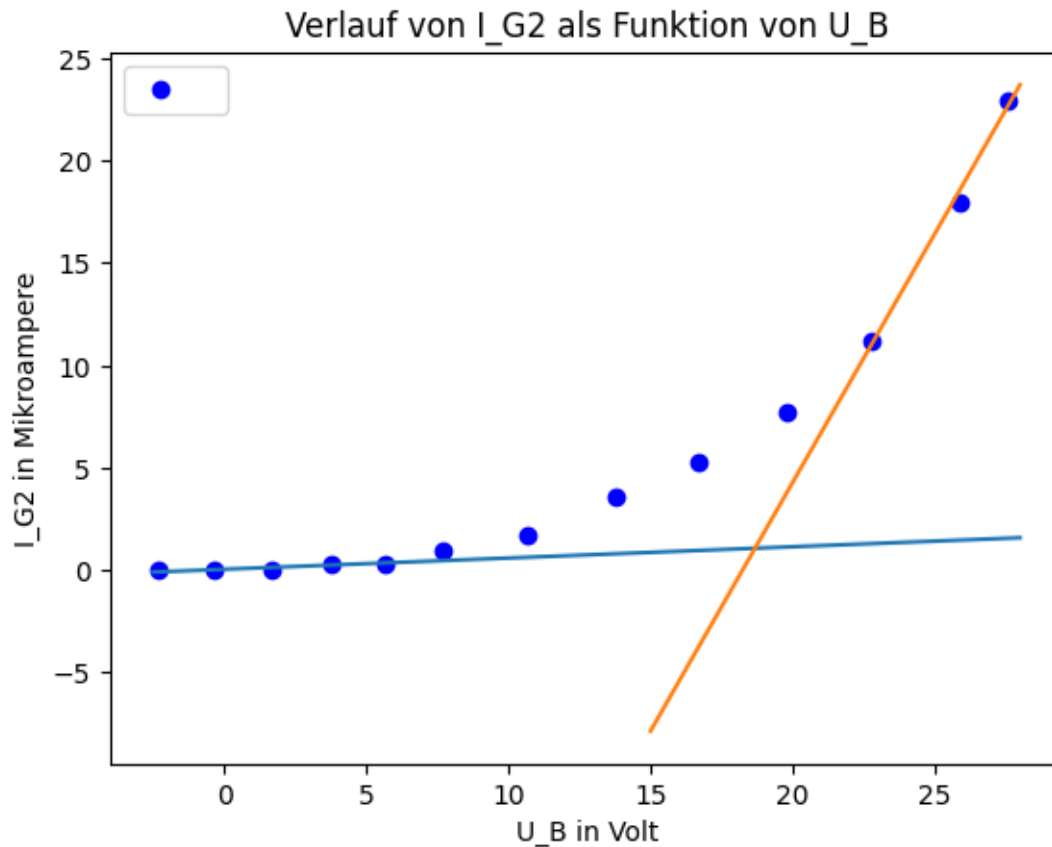
xa = np.array([0,  2.0 ,4.0  ,6.1 , 8.0])-2.334
ya = np.array([0,0,0.04 , 0.29,0.32])

xl = np.array([25.1, 28.2,29.9])-2.334
yl = np.array([11.21,18.00,22.98])

x = np.linspace(-2.5,28, 200)
x2 = np.linspace(15,28, 200)
def Gerade1(x):
    return 0.055*x+0.037

def Gerade2(x):
    return 2.429*x-44.3

plt.plot(U_B, Ig2, 'o',color='blue',label=' ')
plt.plot(x, Gerade1(x))
plt.plot(x2, Gerade2(x2))
plt.title('Verlauf von I_G2 als Funktion von U_B')
plt.xlabel('U_B in Volt')
plt.ylabel('I_G2 in Mikroampere')
plt.legend()
plt.show()
```

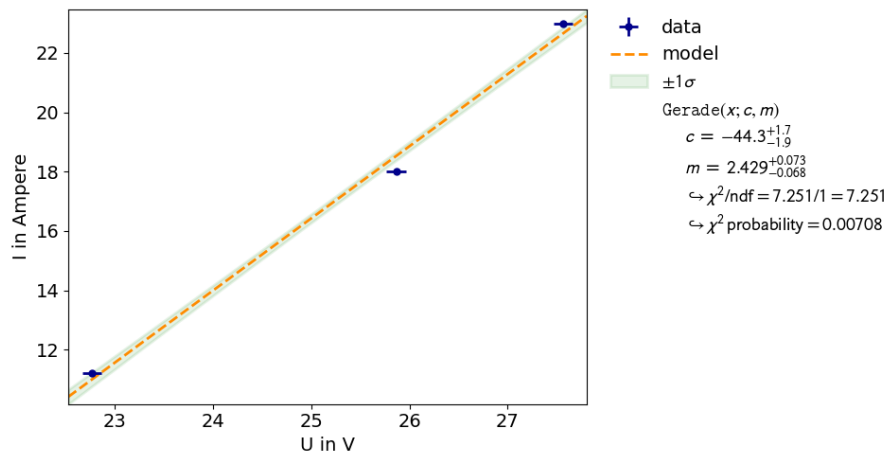
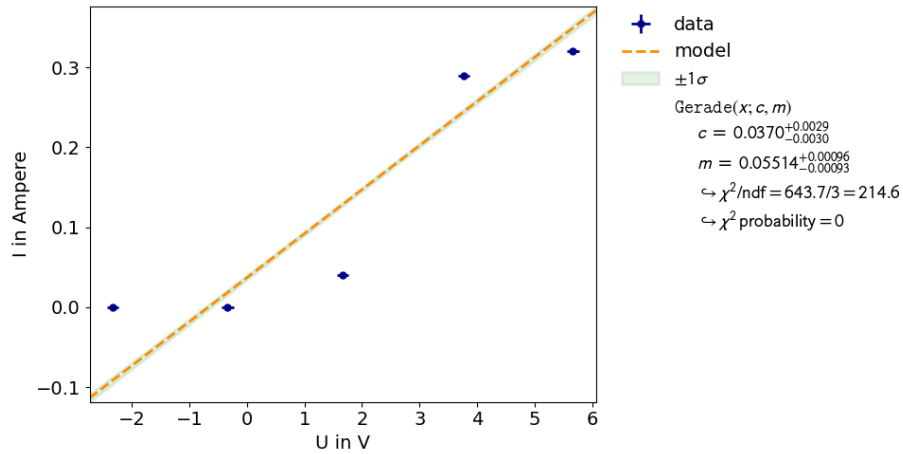


```
[110]: xa = np.array([0, 2.0, 4.0, 6.1, 8.0])-2.334
ya = np.array([0, 0, 0.04, 0.29, 0.32])

xl = np.array([25.1, 28.2, 29.9])-2.334
yl = np.array([11.21, 18.00, 22.98])

def Gerade(x,c,m):
    return m*x+c

ppk.phyTools.k2Fit(Gerade, xa, ya, sx = 0.1, sy=0.01*(1/10**6), axis_labels =
    ↳ ['U in V', 'I in Ampere'])
ppk.phyTools.k2Fit(Gerade, xl, yl, sx = 0.1, sy=0.01*(1/10**6), axis_labels =
    ↳ ['U in V', 'I in Ampere'])
```



```

[110]: (array([-44.2926256 ,  2.42877699]),
        array([[-1.85150921,  1.74450697],
               [-0.0684683 ,  0.07267921]]),
        array([[ 1.          , -0.99697276],
               [-0.99697276,  1.          ]]),
        7.251451282429592)

```

Wir bestimmen den Schnittpunkt der beiden Geraden

$$y = 0.055x + 0.037$$

und

$$y = 2.429x - 44.3$$

Der x-Wert des Schnittpunktes und damit die Ionisierungsenergie von Quecksilber-Atomen beträgt:

$$E_{ion} = 18.68(\pm 0.94)eV$$

Dieser experimentell ermittelte Wert weicht stark vom Literaturwert 10.44 eV ab.

Leider konnten wir mit unseren Messwerten im Plot keinen sprunghaften Anstieg des Anodenstroms erkennen, die infolge der Ionisation auftritt. Dadurch lässt sich die Ionisationsenergie nicht genau bestimmen, sodass der experimentell ermittelte Wert stark vom Literaturwert abweicht.

Bei der Gasentladung konnten wir mit dem Taschenspektroskop das zu erwartende Spektrum mit Linien im violetten, blauen, grünen und gelben Bereich beobachten.

#### 4.4 Aufgabe 4: Bestimmung der mittleren Energie für die Anregung von Ne durch Elektronenstoß

Hinweise zu Aufgabe 4 finden in der Datei [Hinweise-Versuchsdurchfuehrung.md](#).

Bestimmen Sie die mittlere Energie für die vorherrschenden Anregungen von Ne durch Elektronenstoß. Gehen Sie dabei analog zu **Aufgabe 2.1** vor.

---

Analog zu 2.1 messen wir den Spannungsunterschied zwischen den Maxima im Kurvenverlauf.

```
[40]: import numpy as np
      Max1 = 15
      Max2 = 32
      Max3 = 57

      diff1=Max2-Max1
      diff2=Max3-Max2

      ma = (17+ 25)/2

      print(ma)
```

21.0

Durch Mittelwertbildung erhalten wir für die mittlere Anregungsenergie von Neon einen Wert von  $E = 21.0eV$ .

Dieser Wert weicht um etwa 10.52% vom Literaturwert  $E_{Lit.} = 19.0eV$  ab.

Ursache für diese Abweichung sind Ablesefehler an der recht groben Skala des Oszilloskops.



[ ]: